

时域均衡和部分响应技术

均衡概述

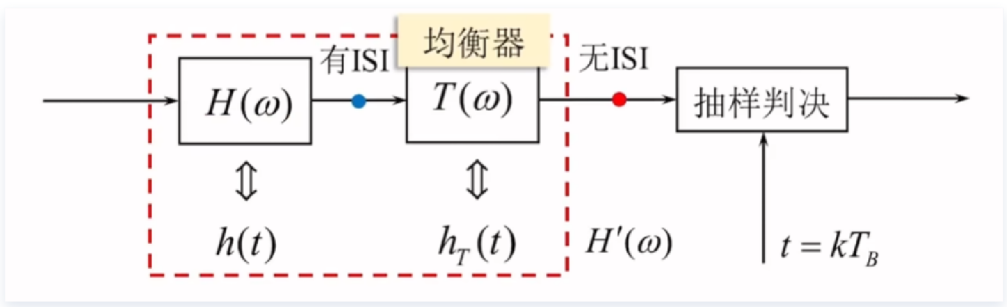
目的

减小码间干扰

频域模型

$$H(\omega) = G_T(\omega)C(\omega)G_R(\omega)$$

其中， $G_T(\omega)$ 是发滤波器频率响应、 $C(\omega)$ 是信道频率响应、 $G_R(\omega)$ 是收滤波器频率响应。



均衡技术原理

频域均衡

$$H'(\omega) = H(\omega)T(\omega)$$

其中， $T(\omega)$ 是频域均衡器的频率响应。

而且，

$$\sum_i H' \left(\omega + \frac{2\pi i}{T_B} \right) = T_B, |\omega| \leq \frac{\pi}{T_B}$$

时域均衡

$$\begin{aligned} h(t) * h_T(t) &= h'(t) \\ x(t) * h_T(t) &= y(t) \end{aligned}$$

$$y(kT_B) = h'(kT_B) = \begin{cases} 1 & k = 0 \\ 0 & k \neq 0 \end{cases}$$

无ISI时域均衡器的冲激响应

$$h_T(t) = \sum_{n=-\infty}^{+\infty} C_n \delta(T - nT_B)$$

$$T(\omega) = \sum_{n=-\infty}^{+\infty} C_n e^{-jn\omega T_B}$$

其中, C_n 与 $H(\omega)$ 有关, 就是抽头系数。

输出信号

$$y(t) = x(t) * h_T(t) = \sum_{n=-\infty}^{+\infty} C_n x(t - nT_B)$$

理论上无限抽头的时域均衡器可以完全消除ISI, 但是物理不可实现。实际使用中常用 $2N + 1$ 个抽头的横向滤波器。

$$y(t) = x(t) * e(t) = \sum_{n=-N}^N C_n x(t - nT_B)$$

其中, C_i 与 $H(\omega)$ 有关。

$$e(t) = \sum_{i=-N}^N C_i \delta(T - iT_B)$$

达到的效果是:

$$y(k) = \sum_{i=-N}^N C_i x_{k-i}$$

当 $i = 0$ 时就是本码元的抽样值; 当 $i \neq 0$ 时就是本码元的抽样值。

均衡效果衡量法则

峰值失真准则

$$D = \frac{1}{y_0} \sum_{k \neq 0} |y_k|$$

所有码间干扰的值除以当前的码元值。

均方失真准则

$$e = \frac{1}{y_0^2} \sum_{k \neq 0} |y_k^2|$$

所有码间干扰值的平方除以当前的码元值的平方。

两种准则得出的结果越低越好。

迫零均衡算法

原理

(后续补充)

结论

$$X = \begin{bmatrix} x_0 & x_{-1} & n_{-2} \\ x_1 & x_0 & x_{-1} \\ x_2 & x_1 & x_0 \end{bmatrix}, C = \begin{bmatrix} c_{-1} \\ c_0 \\ c_1 \end{bmatrix}, Y = \begin{bmatrix} 0 \\ 1 \\ 0 \end{bmatrix}$$

而且当迫零均衡成功时，有：

$$XC = Y$$

通过该矩阵运算反求C矩阵。

部分响应系统概述

设计目标

- 提高频带利用率：理论极限2Baud/Hz
- 改善频谱特性：压缩传输频带
- 加快响应波形尾部的衰减：降低对定时的要求

核心目的是将“理想低通滤波器”（尾部收敛慢，定时要求高）和余弦滚降（带宽变大，频带利用率降低）结合在一起。

设计思想是通过**相关编码**有控制的在某些抽样时刻**引入码间串扰**。由于引入的码间串扰是有规则的，可以在接受端剔除。

第I类部分响应

数学表达

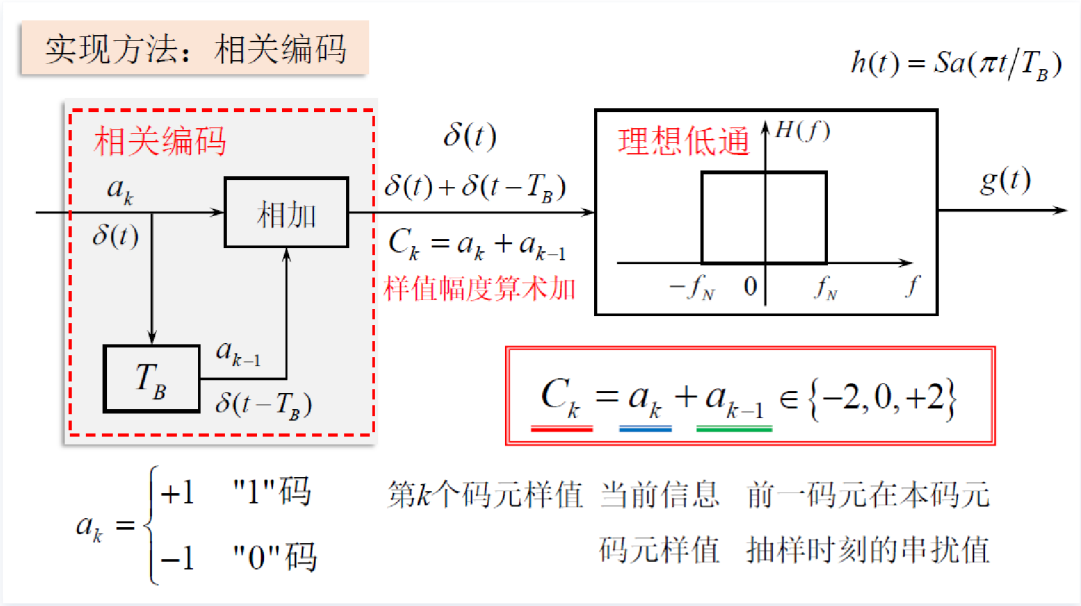
$$h(kT_B) = \begin{cases} 1 & k = 0 \\ 0 & k \neq 0 \end{cases} \xrightarrow{\text{放宽}} h'(kT_B) = \begin{cases} 1 & k = 0, 1 \\ 0 & k \neq 0 \end{cases}$$

设计思考

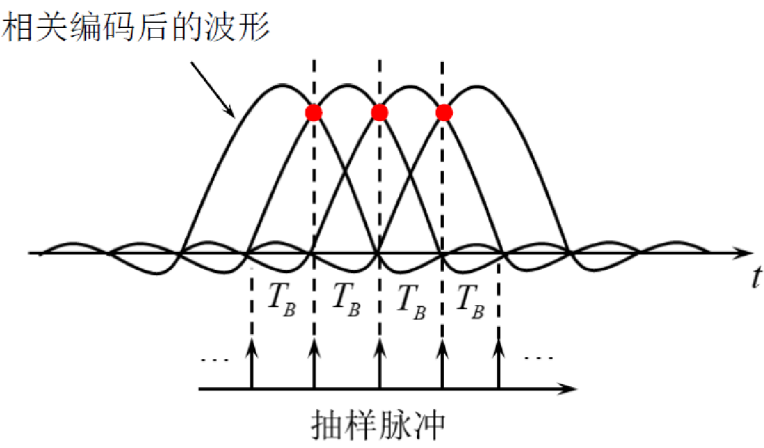
两个拖尾极性相反的Sa函数相加，两个函数最高点的时间差为 T_B 。

(此处应有图)

实现方法——相关编码



相关编码引入ISI



可以看到每个Sa函数仅在 $k = 1$ 时对下一个Sa函数产生码间串扰。

数学过程分析

相关编码输入信号——红色虚线框部分

$$h_1(t) = \delta(t) + \delta(t - T_B) \iff H_1(\omega) = 1 + e^{-j\omega T_B}$$

理想低通滤波器

$$h(t) = \text{Sa}\left(\frac{\pi t}{T_B}\right) \iff H(\omega) = \begin{cases} T_B & , |\omega| \leq \frac{\pi}{T_B} \\ 0 & , |\omega| > \frac{\pi}{T_B} \end{cases}$$

此处可以配图

部分响应信号的频谱——前两者频域乘积

$$G(\omega) = \begin{cases} (1 + e^{-j\omega T_B})T_B & , |\omega| \leq \frac{\pi}{T_B} \\ 0 & , |\omega| > \frac{\pi}{T_B} \end{cases}$$

频谱特点——结论

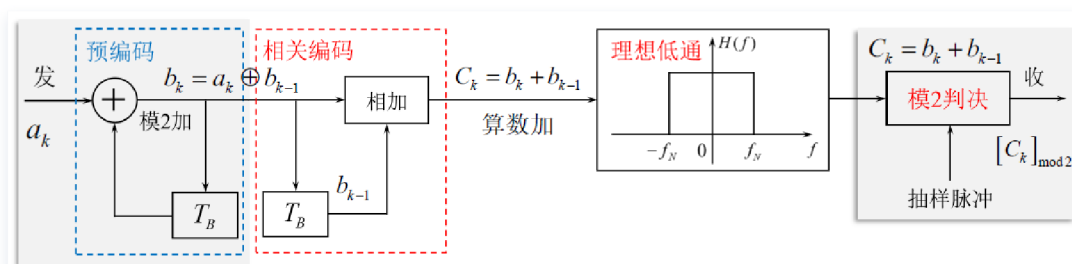
- 系统带宽： $B = \frac{R_B}{2} = f_N$
- 传码率： $R_B = \frac{1}{T_B}$
- 频带利用率： $\eta = \frac{R_B}{B} = 2$
- 不仅频谱是滚降的，而且对定时要求降低了。

接收端抽样判决

由于 $a_k = C_k - a_{k-1}$ ，当接收到的 C_k 出错时，可能会出现差错传播的现象。

解决差错传播的方案：预编码。

故，整个第一类部分响应的完整流程图为：



- 预编码： $b_k = a_k \oplus b_{k-1}$
- 相关编码： $b_k = a_k \oplus b_{k-1}$
- 抽样判决（模2加）： $b_k = a_k \oplus b_{k-1}$

注意： b_k 的取值有时为 ± 1 ，需要根据实际情况做出调整。

第IV类部分响应

设计思路

当前码元仅对下下一个码元产生干扰。

数学过程

把所有的 b_{k-1} 更改为 b_{k-2} 即可。

频谱特点

- 基本和第I类部分响应相同
- 无直流分量、低频分量较小，适合边带滤波。（SSB、VSB类）